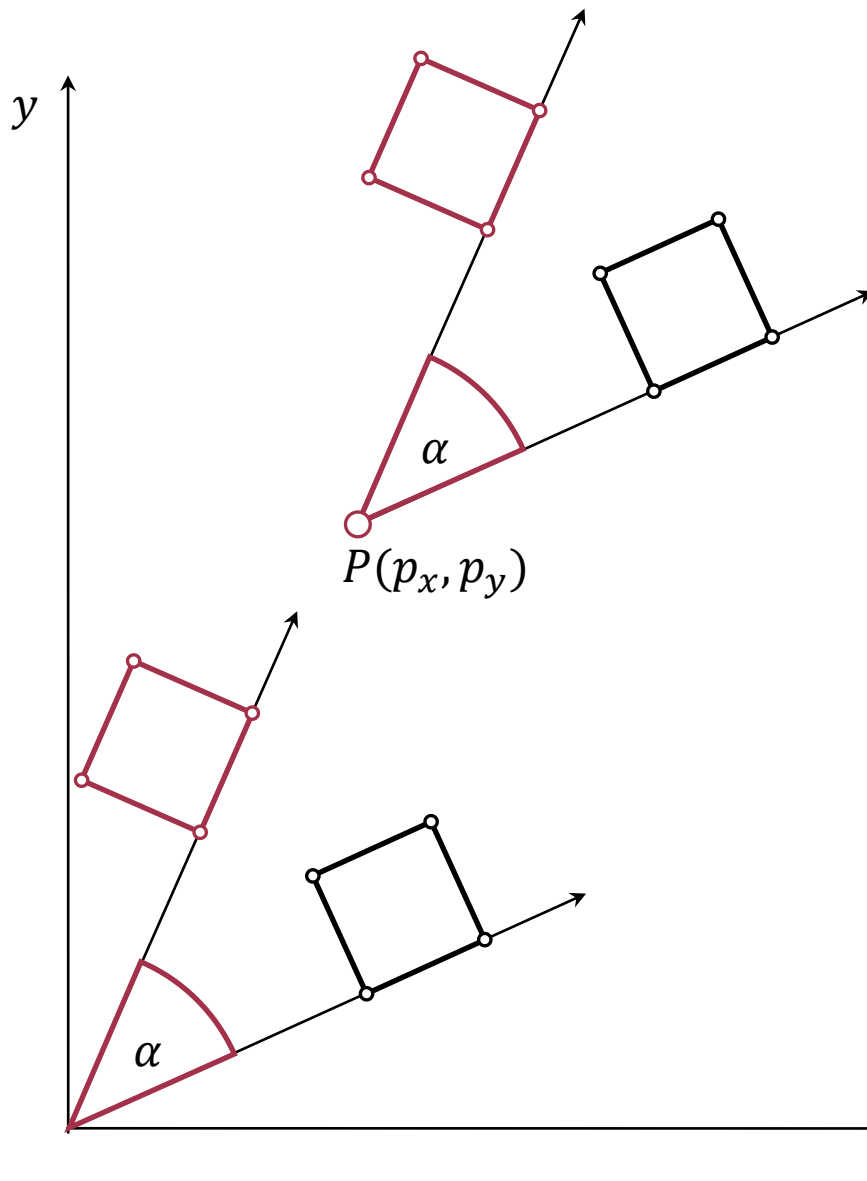


# Computergrafik

Universität Osnabrück, Henning Wenke, 2012-05-07

# Noch Kapitel III: Transformationen

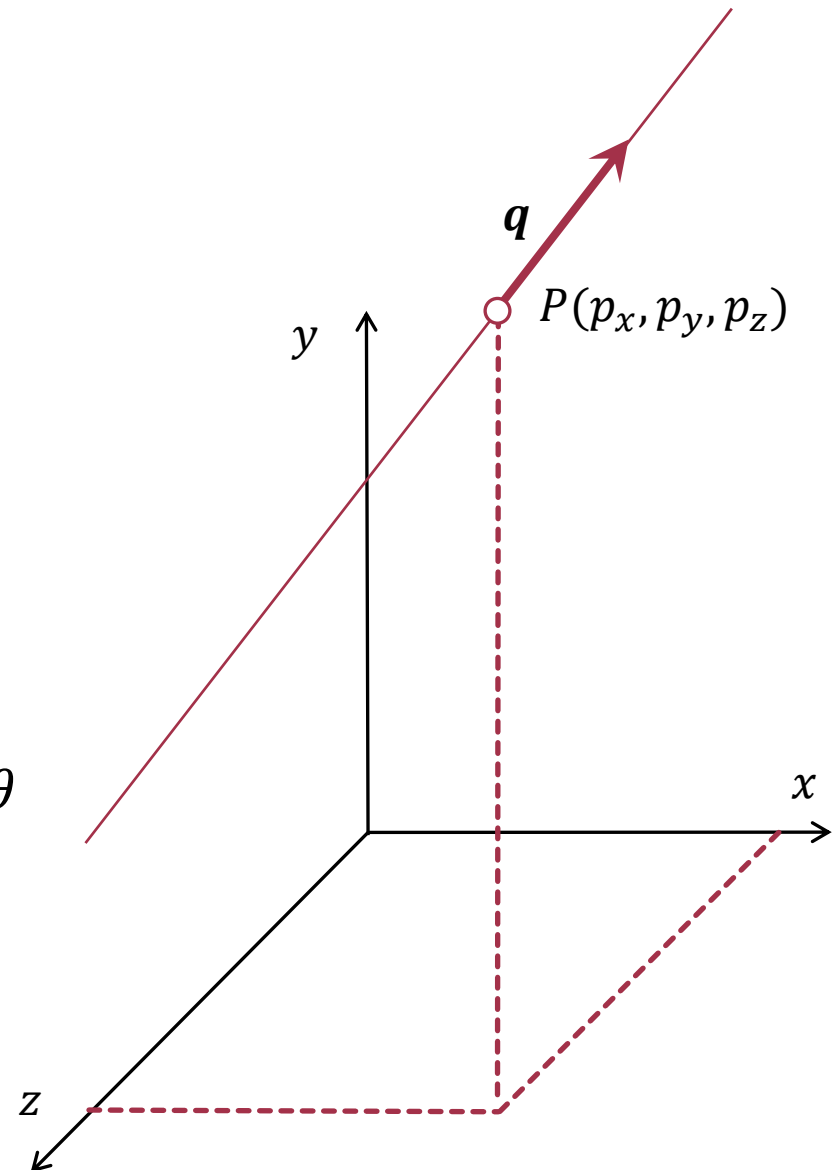
# 2D Rotation um freies Rotationszentrum



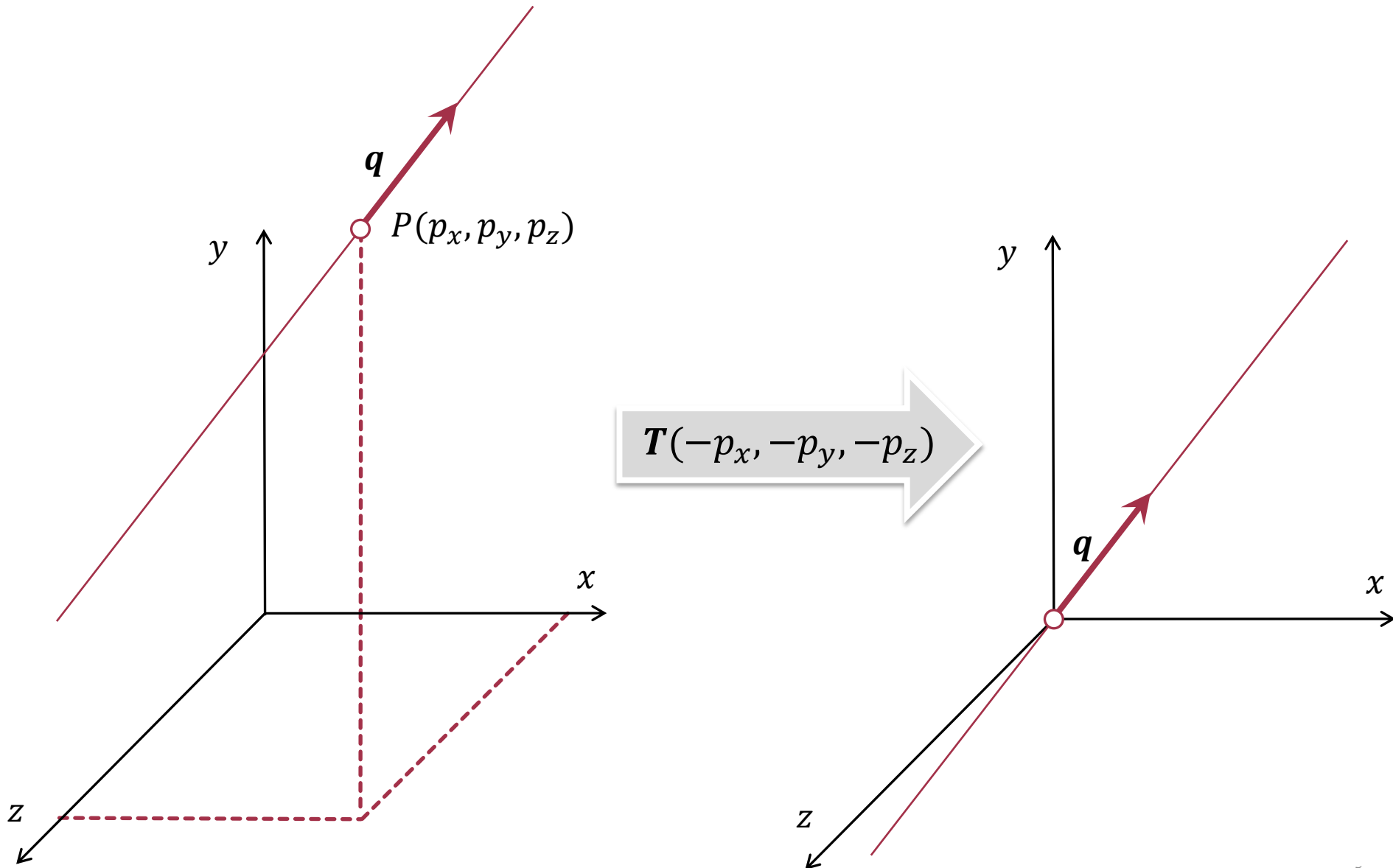
- Ziel: Rotiere Punkte  $\mathbf{r}_i$  um Winkel  $\alpha$  um  $P$  und erhalte  $\mathbf{r}'_i$
- Idee: Führe auf elementare Transformationen zurück
- Verschiebe Rotationszentrum in Ursprung:
  - $T(-p_x, -p_y)$
- Führe Rotation um Ursprung aus:
  - $R(\alpha)$
- Verschiebe Rotationszentrum zurück:
  - $T^{-1}(-p_x, -p_y) = T(p_x, p_y)$
- Transformiere Koordinaten  $\mathbf{r}_i$  entsprechend gemäß:
$$\mathbf{r}'_i = T(p_x, p_y) \cdot R(\alpha) \cdot T(-p_x, -p_y) \cdot \mathbf{r}_i$$
$$= M(p_x, p_y, \alpha) \cdot \mathbf{r}_i$$

# Rotation um beliebige Achse

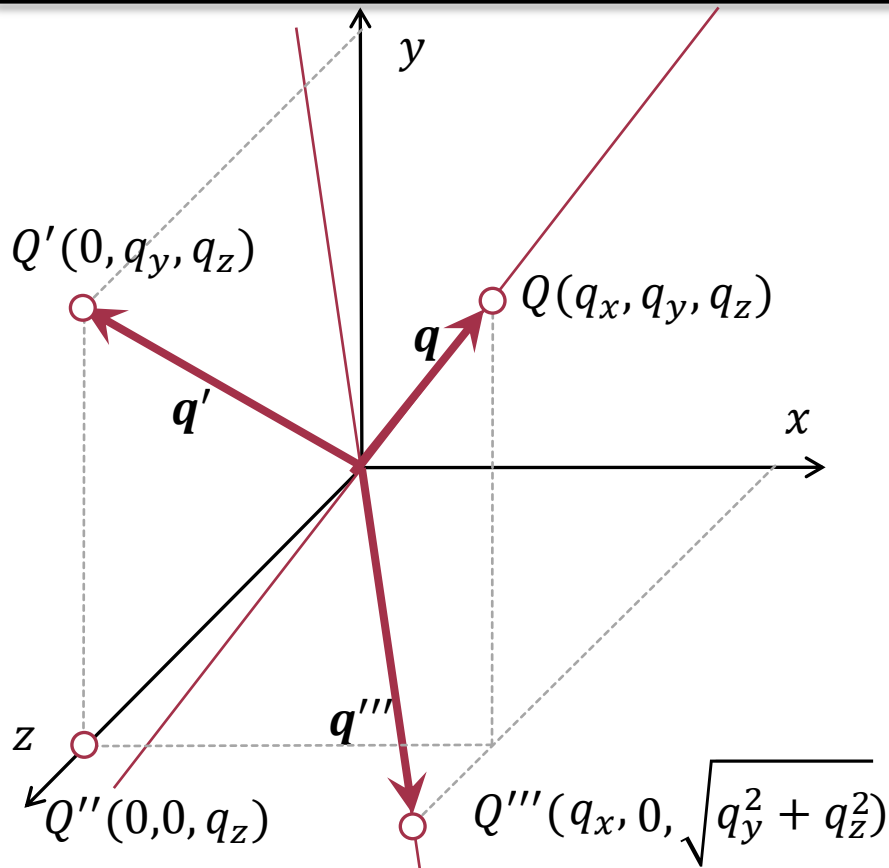
- Ziel: Rotiere um beliebige Achse um Winkel  $\theta$
- Gegeben: Rotationsachse, definiert durch:
  - Punkt  $P$
  - Normierter Richtungsvektor  $\mathbf{q}$
- Idee:
  - Transformiere Rotationsachse z.B. in z-Achse
  - Rotiere um z-Achse um Winkel  $\theta$
  - Rücktransformiere Rotationsachse
  - Wende resultierende Matrix auf alle Koordinaten an



# I. Translation, sodass Ursprungsgerade

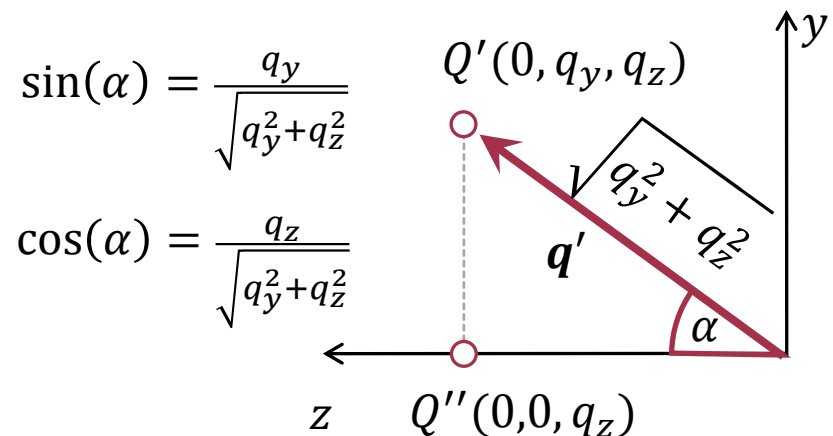


## II. Rotation um x-Achse in xz-Ebene



$$R_x(\alpha) := \begin{pmatrix} 1 & 0 & 0 & 0 \\ 0 & \cos(\alpha) & -\sin(\alpha) & 0 \\ 0 & \sin(\alpha) & \cos(\alpha) & 0 \\ 0 & 0 & 0 & 1 \end{pmatrix}$$

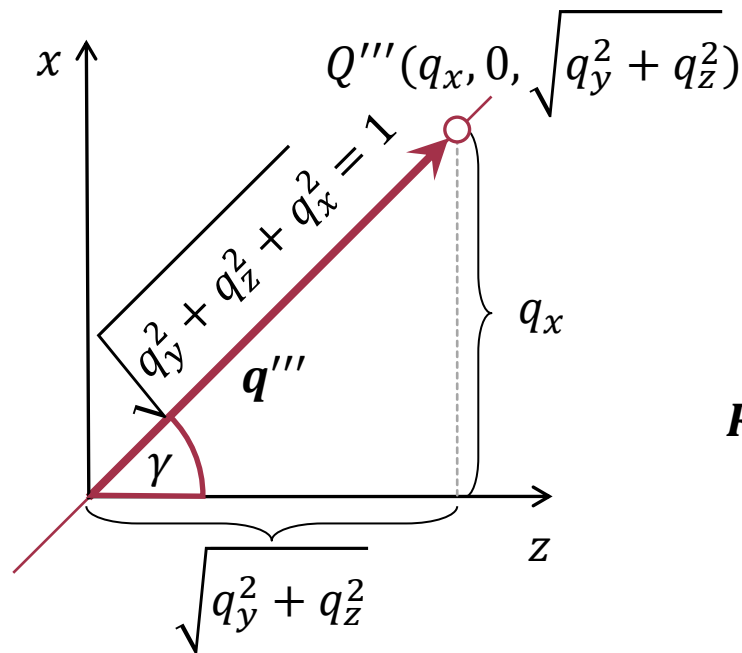
- Gegeben: Ursprungsgerade mit norm. Richtungsvektor  $\mathbf{q}$
- Gesucht: Matrix  $\mathbf{R}_x(\alpha)$  zur Rotation in Gerade in xz-Ebene mit Richtungsvektor  $\mathbf{q}'''$
- Bestimme Projektion  $\mathbf{q}'$  von  $\mathbf{q}$  in yz-Ebene
- Berechne Winkel  $\alpha$  (bzw. sin/cos davon) zwischen  $\mathbf{q}'$  und z-Achse
- Dann gilt:  $\mathbf{q}''' = \mathbf{R}_x(\alpha) \cdot \mathbf{q}$



$$\sin(\alpha) = \frac{q_y}{\sqrt{q_y^2 + q_z^2}}$$

$$\cos(\alpha) = \frac{q_z}{\sqrt{q_y^2 + q_z^2}}$$

# III. Rotation um y-Achse in z-Achse



$$\sin(\gamma) = q_x$$

$$\cos(\gamma) = \sqrt{q_y^2 + q_z^2}$$

Probe:

$$\mathbf{R}_y(\beta) \cdot \mathbf{q}''' = \begin{pmatrix} 0 \\ 0 \\ \mathbf{q}_x^2 + \mathbf{q}_y^2 + \mathbf{q}_z^2 \\ 0 \end{pmatrix} = \begin{pmatrix} 0 \\ 0 \\ 1 \\ 0 \end{pmatrix}$$

- Gegeben: Ursprungsgerade in xz-Ebene mit norm. Richtungsvektor  $\mathbf{q}'''$
- Gesucht: Matrix  $\mathbf{R}_y(\beta)$  zur Rotation in Gerade in z-Achse

$$\begin{aligned} \mathbf{R}_y(\beta) &= \mathbf{R}_y(-\gamma) = \begin{pmatrix} \cos(-\gamma) & 0 & \sin(-\gamma) & 0 \\ 0 & 1 & 0 & 0 \\ -\sin(-\gamma) & 0 & \cos(-\gamma) & 0 \\ 0 & 0 & 0 & 1 \end{pmatrix} \\ &= \begin{pmatrix} \cos(\gamma) & 0 & -\sin(\gamma) & 0 \\ 0 & 1 & 0 & 0 \\ \sin(\gamma) & 0 & \cos(\gamma) & 0 \\ 0 & 0 & 0 & 1 \end{pmatrix} \\ &= \begin{pmatrix} \sqrt{q_y^2 + q_z^2} & 0 & -q_x & 0 \\ 0 & 1 & 0 & 0 \\ q_x & 0 & \sqrt{q_y^2 + q_z^2} & 0 \\ 0 & 0 & 0 & 1 \end{pmatrix} \end{aligned}$$

## IV. Rotation um z-Achse um Winkel $\theta$

---

$$\mathbf{R}_z(\theta) = \begin{pmatrix} \cos(\theta) & -\sin(\theta) & 0 & 0 \\ \sin(\theta) & \cos(\theta) & 0 & 0 \\ 0 & 0 & 1 & 0 \\ 0 & 0 & 0 & 1 \end{pmatrix}$$



# V. Rücktransformation zu Ausgangsachse

---

➤ Inverse von III:

- $\mathbf{R}_y^{-1}(\beta) = \mathbf{R}_y(-\beta)$

➤ Inverse von II:

- $\mathbf{R}_x^{-1}(\alpha) = \mathbf{R}_x(-\alpha)$

➤ Inverse von I:

- $\mathbf{T}^{-1}(-p_x, -p_y, -p_z) = \mathbf{T}(p_x, p_y, p_z)$

# Gesamttransformation

---

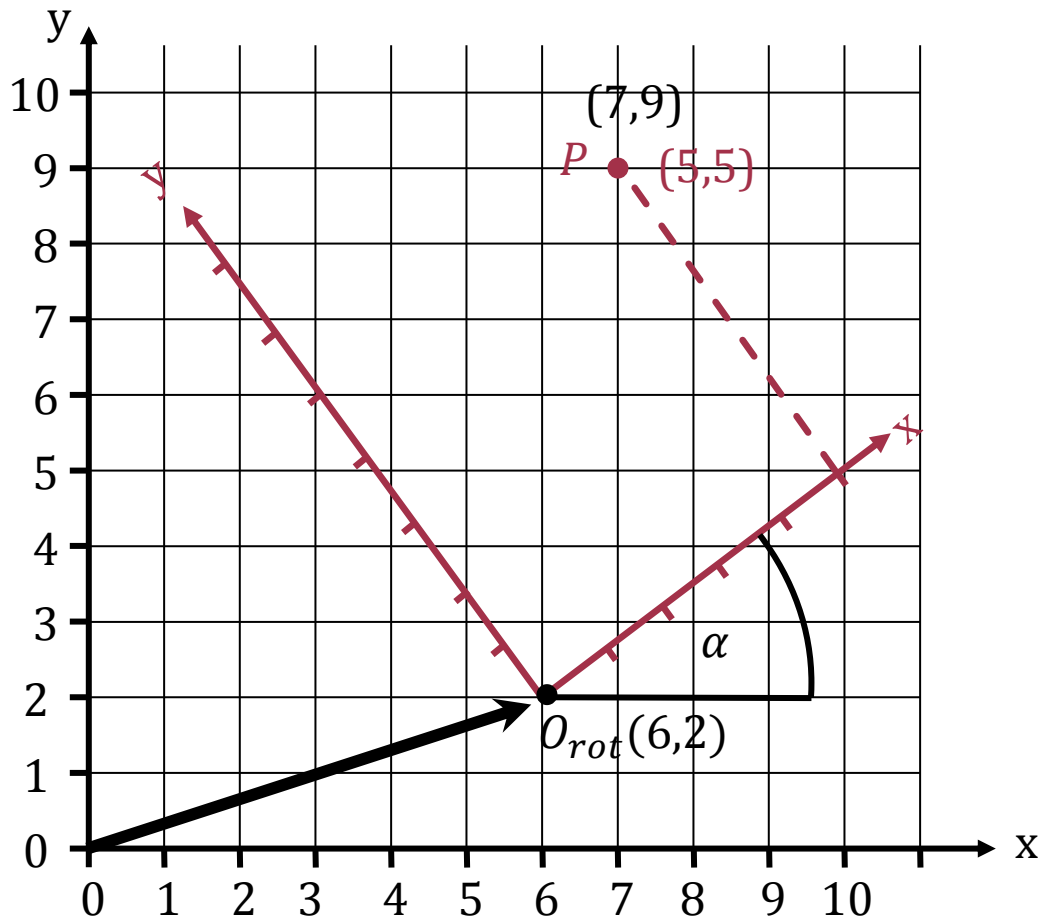
$$\begin{aligned} R(\mathbf{p}, \mathbf{q}, \theta) = & T^{-1}(-p_x, -p_y, -p_z) \\ & \cdot R_x^{-1}(\alpha) \\ & \cdot R_y^{-1}(\beta) \\ & \cdot R_z(\theta) \\ & \cdot R_y(\beta) \\ & \cdot R_x(\alpha) \\ & \cdot T(-p_x, -p_y, -p_z) \end{aligned}$$

## 3.4

---

# Wechsel zwischen kartesischen Koordinatensystemen

# Beschreibe P aus Sicht des schwarzen KS



➤ Transformiere schwarzes in rotes Koordinatensystem

➤ Drehe um  $\alpha$  CCW

- $\cos(\alpha) = 4/5 = 0.8$

- $\sin(\alpha) = 3/5 = 0.6$

- $R(\alpha) = \begin{pmatrix} 0.8 & -0.6 & 0 \\ 0.6 & 0.8 & 0 \\ 0 & 0 & 1 \end{pmatrix}$

➤ Verschiebe um  $O_{rot}$

- $T(O_{rot}) = \begin{pmatrix} 1 & 0 & 6 \\ 0 & 1 & 2 \\ 0 & 0 & 1 \end{pmatrix}$

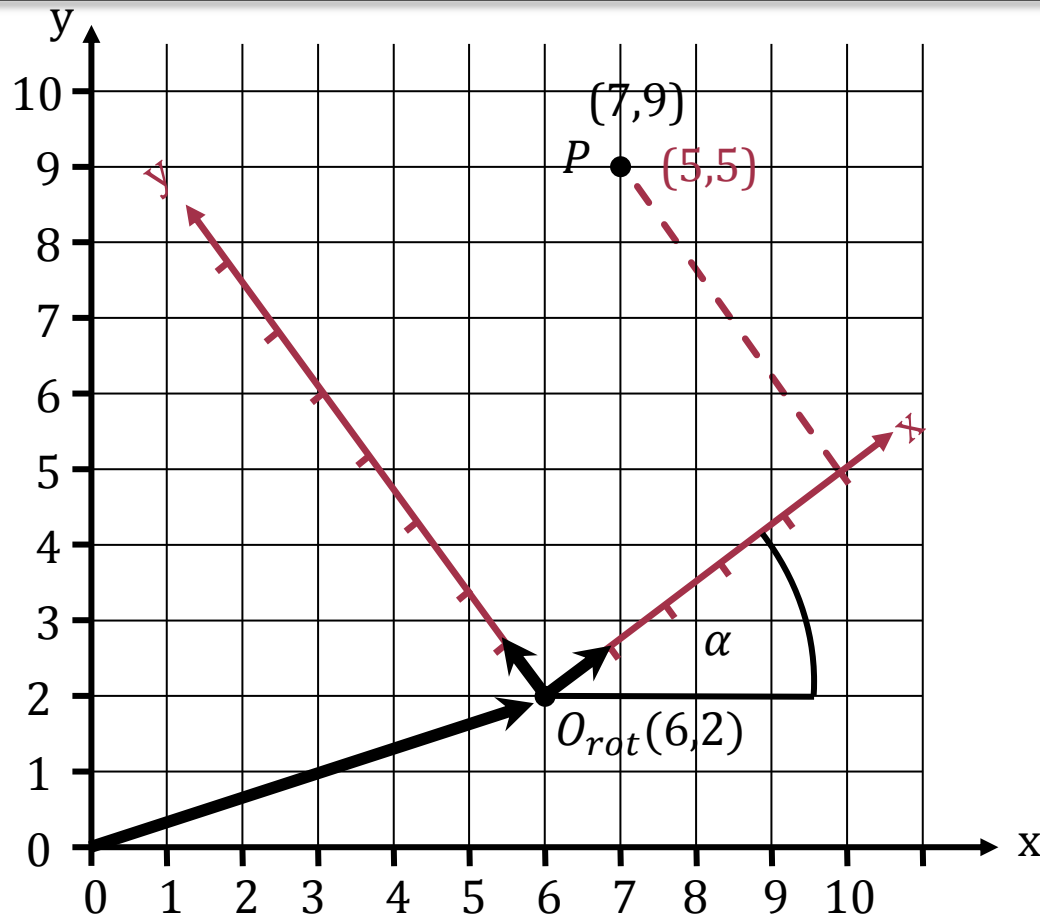
➤ Matrix für KS-Wechsel:

- $M_{rot \rightarrow schwarz} = T(O_{rot}) \cdot R(\alpha)$

- $= \begin{pmatrix} 0.8 & -0.6 & 6 \\ 0.6 & 0.8 & 2 \\ 0 & 0 & 1 \end{pmatrix}$

$$p_{schwarz} = M_{rot \rightarrow schwarz} \cdot p_{rot} = \begin{pmatrix} 0.8 & -0.6 & 6 \\ 0.6 & 0.8 & 2 \\ 0 & 0 & 1 \end{pmatrix} \cdot \begin{pmatrix} 5 \\ 5 \\ 1 \end{pmatrix} = \begin{pmatrix} 7 \\ 9 \\ 1 \end{pmatrix}$$

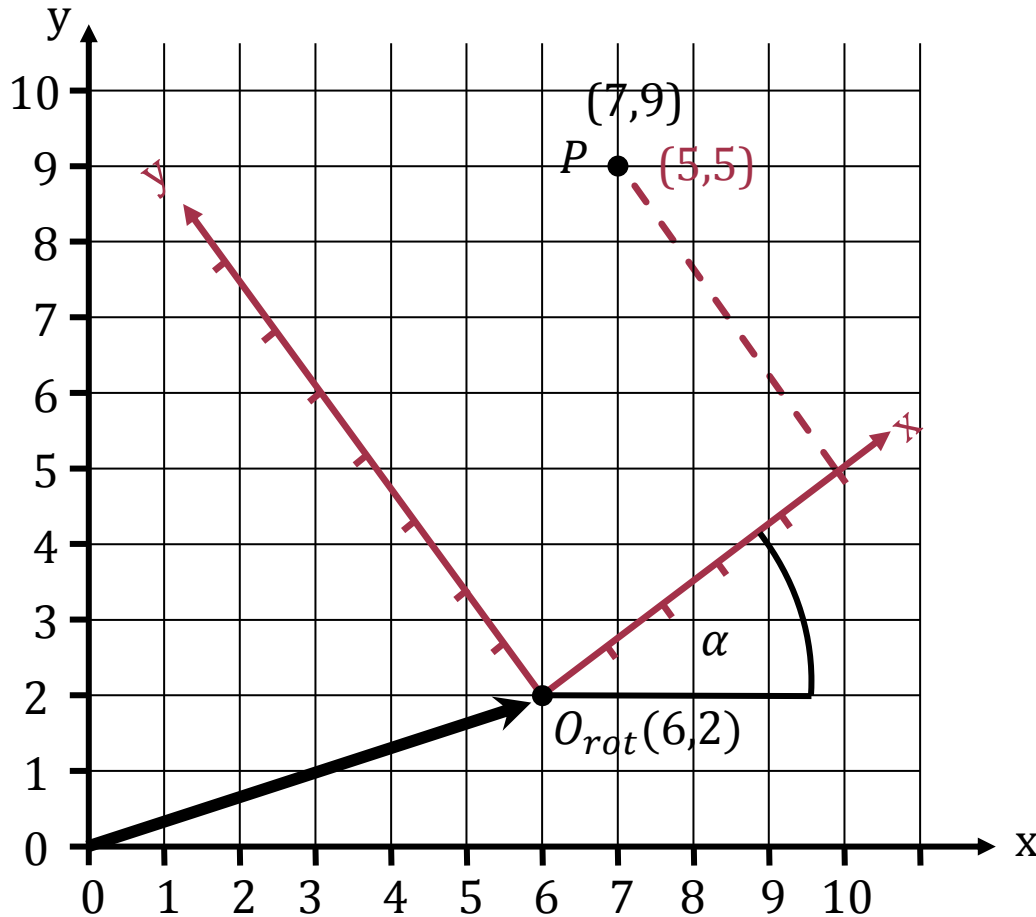
# Beobachtung



$$M_{rot \rightarrow schwarz} = \begin{pmatrix} \boxed{0.8} & \boxed{-0.6} & \boxed{6} \\ \boxed{0.6} & \boxed{0.8} & \boxed{2} \\ \boxed{0} & \boxed{0} & \boxed{1} \end{pmatrix}$$

- Ursprung von rot, beschrieben in schwarz
- $e_y$  von rot, beschrieben in schwarz
- $e_x$  von rot, beschrieben in schwarz

# Beschreibe P aus Sicht des roten KS



$$R(\alpha) = \begin{pmatrix} 0.8 & -0.6 & 0 \\ 0.6 & 0.8 & 0 \\ 0 & 0 & 1 \end{pmatrix}$$

$$T(O_{rot}) = \begin{pmatrix} 1 & 0 & 6 \\ 0 & 1 & 2 \\ 0 & 0 & 1 \end{pmatrix}$$

➤ Matrix für KS-Wechsel rot nach schwarz:

- $M_{r \rightarrow s} = T(O_{rot}) \cdot R(\alpha)$
- $= \begin{pmatrix} 0.8 & -0.6 & 6 \\ 0.6 & 0.8 & 2 \\ 0 & 0 & 1 \end{pmatrix}$

➤ Matrix für KS-Wechsel schwarz nach rot:

- $M_{s \rightarrow r} = M_{r \rightarrow s}^{-1}$
- $M_{s \rightarrow r} = R(\alpha)^{-1} \cdot T(O_{rot})^{-1}$
- $M_{s \rightarrow r} = R(-\alpha) \cdot T(-O_{rot})$
- $M_{s \rightarrow r} = \begin{pmatrix} 0.8 & 0.6 & -6 \\ -0.6 & 0.8 & -2 \\ 0 & 0 & 1 \end{pmatrix}$

➤ Test

- $M_{s \rightarrow r} \cdot P_s = P_r$
- $M_{s \rightarrow r} \cdot (7,9,1) = (5,5,1)$

# Koordinatensystemwechsel

$$\begin{array}{c}
 \mathbf{M}_{B \rightarrow A} \cdot \mathbf{p}_B = \mathbf{p}_A = \\
 \text{Punkt} \\
 \text{beschrieben in A}
 \end{array}
 \underbrace{
 \begin{pmatrix}
 e_{(x,x)}^A & e_{(y,x)}^A & e_{(z,x)}^A & O_x^A \\
 e_{(x,y)}^A & e_{(y,y)}^A & e_{(z,y)}^A & O_y^A \\
 e_{(x,z)}^A & e_{(y,z)}^A & e_{(z,z)}^A & O_z^A \\
 0 & 0 & 0 & 1
 \end{pmatrix}
 \cdot
 \begin{pmatrix}
 p_x^B \\
 p_y^B \\
 p_z^B \\
 1
 \end{pmatrix}
 }_{\substack{\text{Beschrieben in A} \\ \text{Ursprung von B}}}
 \begin{array}{c}
 \text{Punkt} \\
 \text{beschrieben in B}
 \end{array}$$

$$(\mathbf{M}_{B \rightarrow A})^{-1} \cdot \mathbf{p}_A = \mathbf{M}_{A \rightarrow B} \cdot \mathbf{p}_A = \mathbf{p}_B$$

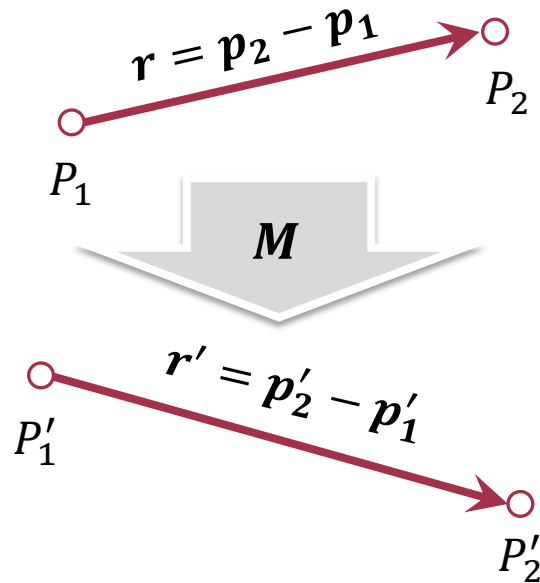
## 3.5

---

# Transformation von Richtungsvektoren



# Tangentenvektoren



- Bisher: Transformation von Ortsvektoren in homogenen Koordinaten
- Tangentenvektoren werden in gleicher Weise wie Ortsvektoren transformiert
- Allerdings kann auch obere linke 3x3 Matrix der Transformation in HK verwendet werden

$$p'_1 = M \cdot p_1 \quad p'_2 = M \cdot p_2$$

$$r' = p'_2 - p'_1$$

$$= M \cdot p_2 - M \cdot p_1$$

$$= M \cdot (p_2 - p_1)$$

$$= M \cdot r$$

# Normalentransformation

- Hinweis: 3D Spalten- bzw. Zeilenvektor entspricht  $1 \times 3$  bzw.  $3 \times 1$  Matrix. Dann ist das Skalarprodukt:  $\mathbf{a}^T \cdot \mathbf{b}$
- Gegeben:
  - Tangentenvektor:  $\mathbf{r}$
  - Normale dazu:  $\mathbf{n}$
  - Transformationsmatrix  $\mathbf{M}$
  - $\mathbf{r}' = \mathbf{M} \cdot \mathbf{r}$
- Gesucht:
  - Zugehörige Transformationsmatrix  $\mathbf{G}$  für Normalenvektoren
- Es gilt:
  - $\mathbf{r}^T \cdot \mathbf{n} = 0$
- Es soll gelten:
  - $(\mathbf{n}')^T \cdot \mathbf{r}' = 0$ , mit:  $\mathbf{n}' = \mathbf{G} \cdot \mathbf{n}$

$$(\mathbf{n}')^T \cdot \mathbf{r}' = 0$$

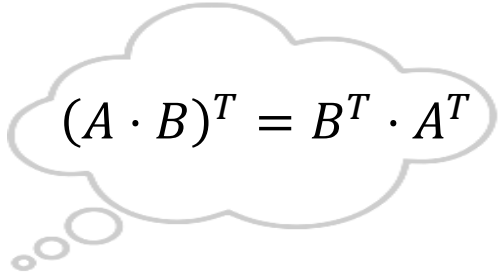
$$(\mathbf{G} \cdot \mathbf{n})^T \cdot (\mathbf{M} \cdot \mathbf{r}) = 0$$

$$\mathbf{n}^T \cdot \mathbf{G}^T \cdot \mathbf{M} \cdot \mathbf{r} = 0$$

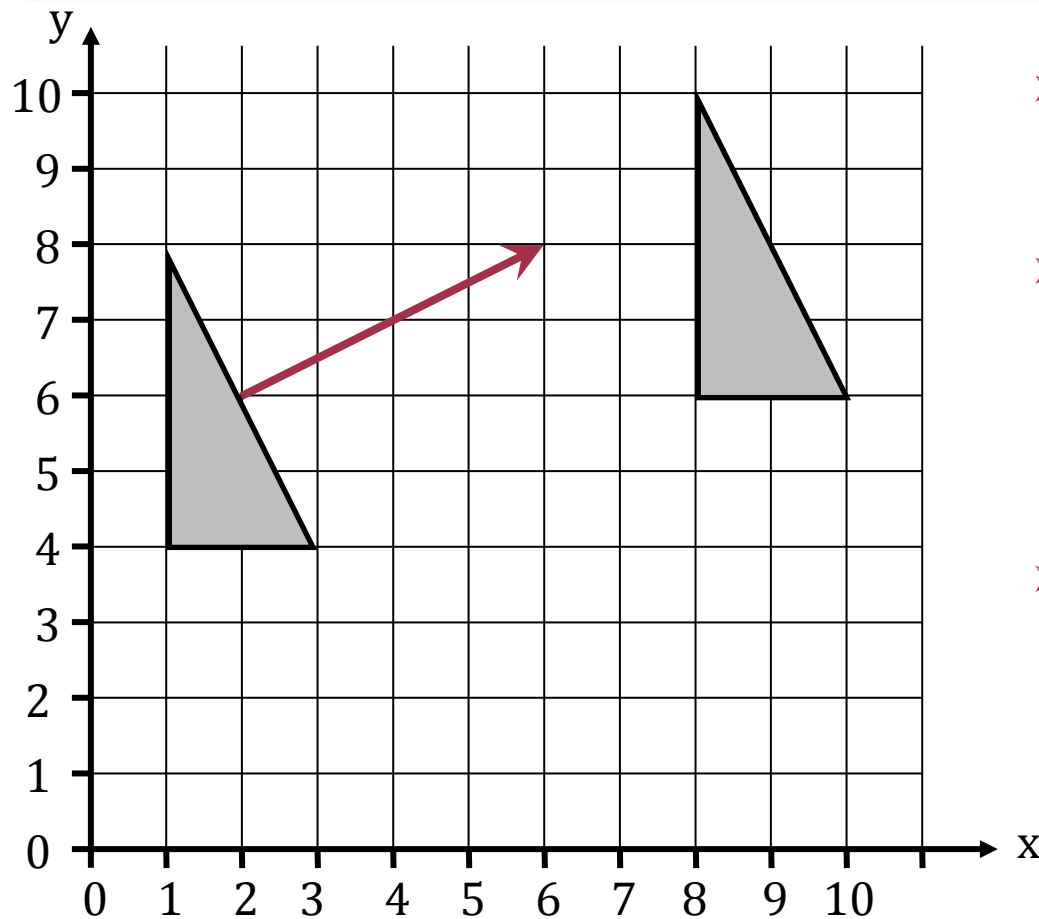
Ist erfüllt, wenn  $\mathbf{G}^T \cdot \mathbf{M} = \mathbf{E}$ ,  
da  $\mathbf{n}^T \cdot \mathbf{r} = 0$

$$\mathbf{G}^T = \mathbf{M}^{-1}$$

$$\mathbf{G} = (\mathbf{M}^{-1})^T$$


$$(\mathbf{A} \cdot \mathbf{B})^T = \mathbf{B}^T \cdot \mathbf{A}^T$$

# Beispiel: Translation in homogenen Krd.



- Wir erwarten:
  - Keinerlei Auswirkung der Translation auf Richtungsvektoren

- Für  $T(t_x, t_y, t_z)$  erfüllt:

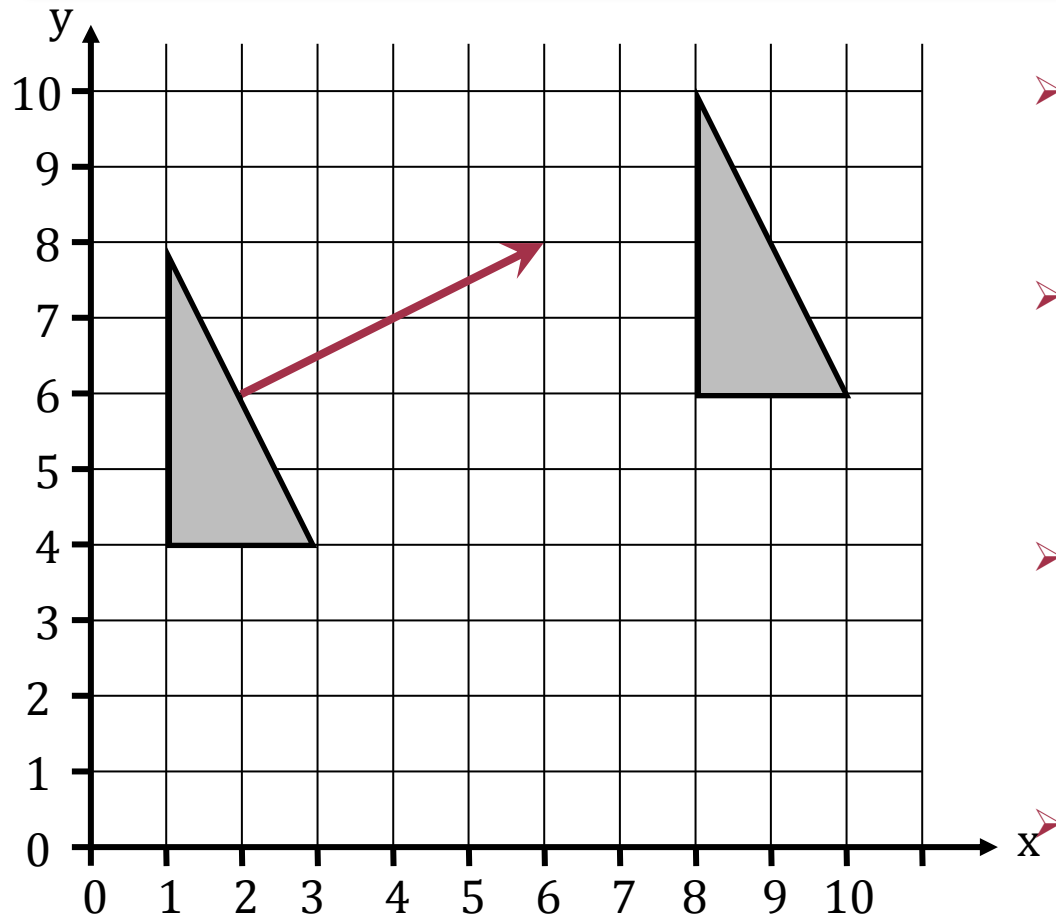
$$\bullet \begin{pmatrix} 1 & 0 & 0 & t_x \\ 0 & 1 & 0 & t_y \\ 0 & 0 & 1 & t_z \\ 0 & 0 & 0 & 1 \end{pmatrix} \cdot \begin{pmatrix} x \\ y \\ z \\ 0 \end{pmatrix} = \begin{pmatrix} x \\ y \\ z \\ 0 \end{pmatrix}$$

- Für  $(T^{-1})^T$  nicht:

$$\bullet \begin{pmatrix} 1 & 0 & 0 & 0 \\ 0 & 1 & 0 & 0 \\ 0 & 0 & 1 & 0 \\ -t_x & -t_y & -t_z & 1 \end{pmatrix} \cdot \begin{pmatrix} x \\ y \\ z \\ 0 \end{pmatrix} = \begin{pmatrix} x \\ y \\ z \\ -t_x x - t_y y - t_z z \end{pmatrix}$$

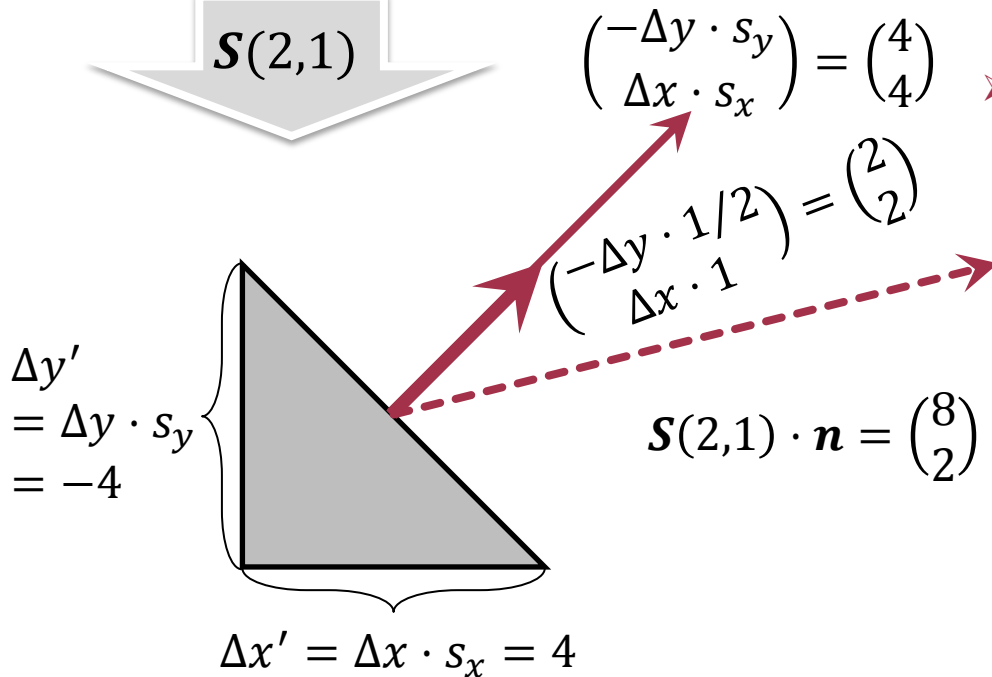
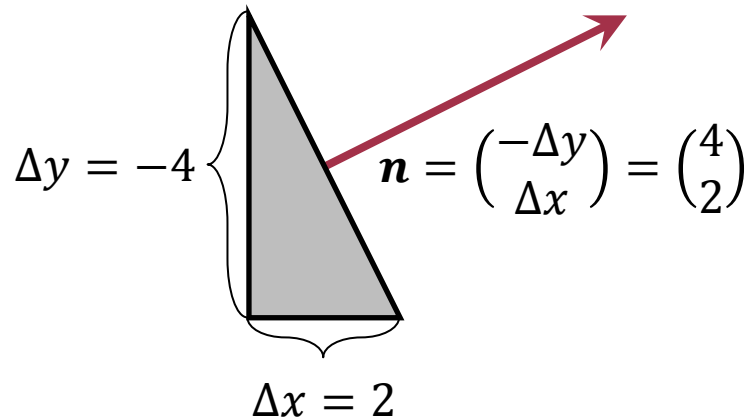
- Kein Richtungsvektor mehr

# Beispiel: Translation



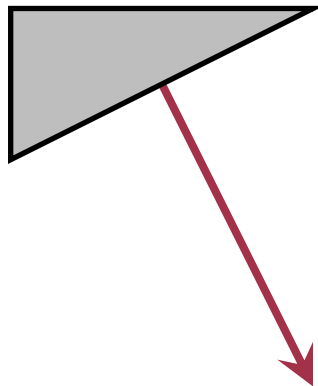
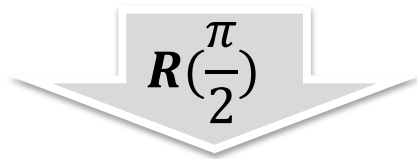
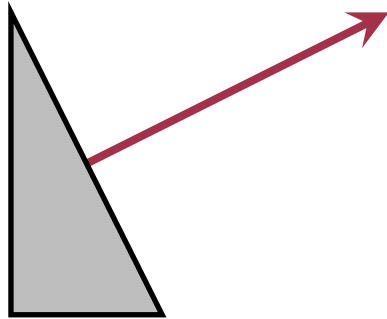
- Normalentransformation wird nicht in homogenen Koordinaten ausgeführt!
- Wir erwarten:
  - Keinerlei Auswirkung der Translation auf Richtungsvektoren
- Für  $T_{LO\ 3 \times 3}(t_x, t_y, t_z)$  erfüllt:
  - $$\begin{pmatrix} n_x \\ n_y \\ n_z \end{pmatrix} \cdot \begin{pmatrix} 1 & 0 & 0 \\ 0 & 1 & 0 \\ 0 & 0 & 1 \end{pmatrix} = \begin{pmatrix} n_x \\ n_y \\ n_z \end{pmatrix}$$
- Für  $(T_{LO\ 3 \times 3}^{-1})^T$  auch

# Beispiel: Skalierung



- Wir erwarten:
  - Normale bleibt orthogonal zur Oberfläche
- Für  $\mathbf{S}(s_x, s_y, s_z)$  nicht erfüllt
- Für
 
$$(\mathbf{S}^{-1})^T(s_x, s_y, s_z) = \mathbf{S}^T \left( \frac{1}{s_x}, \frac{1}{s_y}, \frac{1}{s_z} \right) = \mathbf{S} \left( \frac{1}{s_x}, \frac{1}{s_y}, \frac{1}{s_z} \right)$$
 erfüllt
- Achtung: Länge der Normalen ändert sich
  - Erneutes Normieren nötig

# Beispiel: Rotation



- Wir erwarten:
  - Normalenvektoren werden wie Ortsvektoren rotiert
- Für  $\mathbf{R}_x(\phi)$ ,  $\mathbf{R}_y(\phi)$ ,  $\mathbf{R}_z(\phi)$  erfüllt
- Da Rotationsmatrizen orthogonal ebenfalls erfüllt für:
  - $(\mathbf{R}_x^{-1})^T(\phi) = \mathbf{R}_x(\phi)$
  - $(\mathbf{R}_y^{-1})^T(\phi) = \mathbf{R}_y(\phi)$
  - $(\mathbf{R}_z^{-1})^T(\phi) = \mathbf{R}_z(\phi)$

# Zusammenfassung

---

- Tangentenvektoren können wie Ortsvektoren Transformiert werden
- Es genügt allerdings die obere linke  $3 \times 3$  Matrix, da Translation wirkungslos
- Normalenvektoren werden mit der transponierten inversen der oberen linken  $3 \times 3$  Matrix transformiert
- Normalentransformation oft einfacher:
  - Translation: unnötig
  - Rotation: Auch mit Originalmatrix möglich

# Kapitel IV: OpenGL



# Über OpenGL

---

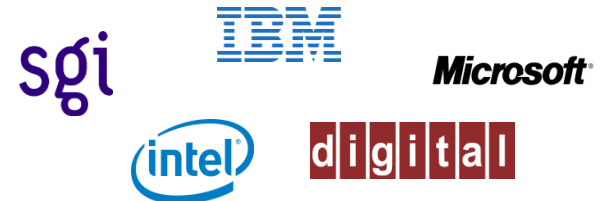
- API für Rastergrafik
  - Prozedural
  - Hardwarenah
  - Plattform-, Betriebssystem- und Sprachunabhängig
- Spezifikationen variieren im Funktionsumfang
  - Diese Veranstaltung: Version 3.1 bzw. 3.3, Core Profile
- Implementation divergieren in:
  - Hardwarenutzung / Performance
  - Genauigkeit (etwas)
- Verwandte APIs:



# Entwicklungsgeschichte

➤ 1992 initiiert durch SGI...

➤ ...und betreut durch das OpenGL ARB:



➤ Seit 2006 trägt die Khronos Group die Verantwortung



# Entwicklung der API

## OpenGL 1.x (ab 1992)

- Feste, konfigurierbare Pipeline
- Spätere Versionen bringen weitere „Optionen“

## OpenGL 3.1 (2009-03)

- Legacy Funktionen aus Kern entfernt

## OpenGL 3.2 (2009-09)

- Geometry Shader

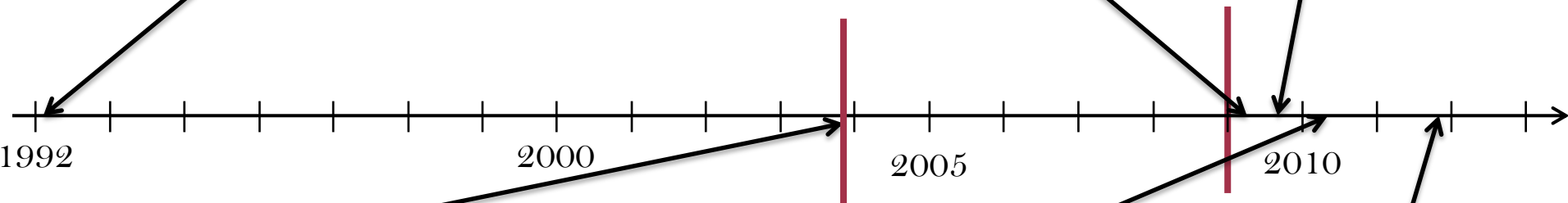
## OpenGL 2.x (ab 2004)

- Einführung programmierbarer Stages (VS / FS)
- Feste Pipeline bleibt parallel bestehen

## OpenGL 3.3 & 4.0 (2010-03)

- Tessellation (nur 4.0)
- Bessere Zusammenarbeit mit OpenCL

## OpenGL 4.2 (aktuell, 2011-08)



# Programmierstile

---

## ➤ OpenGL 1.x

- Ausschließlich vorgegebene Algorithmen
- Können aktiviert/deaktiviert und etwas konfiguriert werden
- Nahezu kein Spielraum eigene Algorithmen zu formulieren

## ➤ OpenGL 2.x, 3.0, Compatibility Profile

- Programmierbare Abschnitte
- Feste Pipeline (mittlerweile in Software implementiert) sowie immediate Mode existieren nebenher
- Können „vermischt“ werden
- Resultiert in fragwürdigem Programmierstil
- Inkompatibel mit schlankeren APIs (OpenGL ES 2, WebGL)

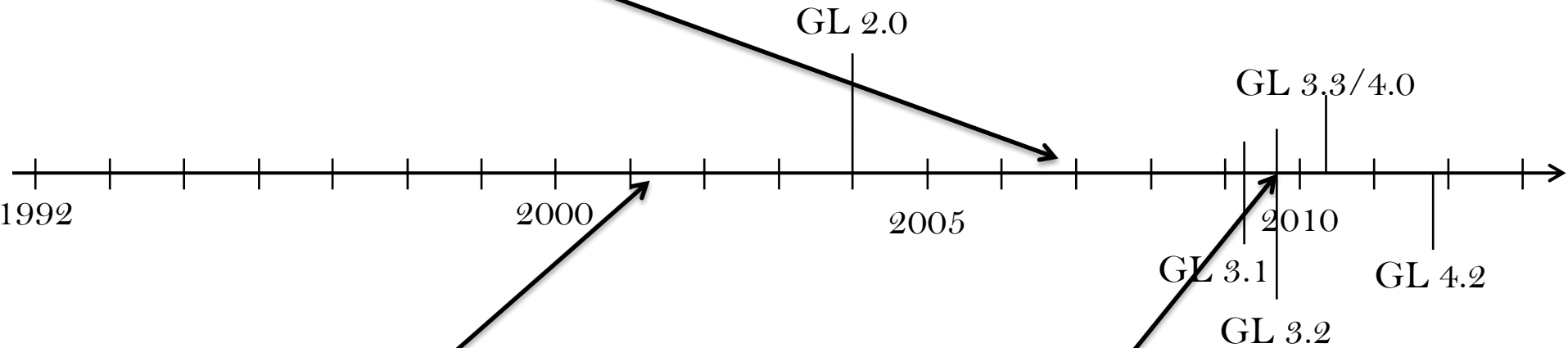
## ➤ OpenGL 3.1 und danach (Core Profile)

- Legacy Funktionen entfernt
- Aufwärtskompatibel

# Vergleich mit Hardwareentwicklung

## Nvidia GeForce 8800 (2006-11)

- OpenGL 3.3
- Cuda / OpenCL



## Nvidia GeForce 3 (2001-03)

- Vertex & Fragment Shader (eingeschränkt)

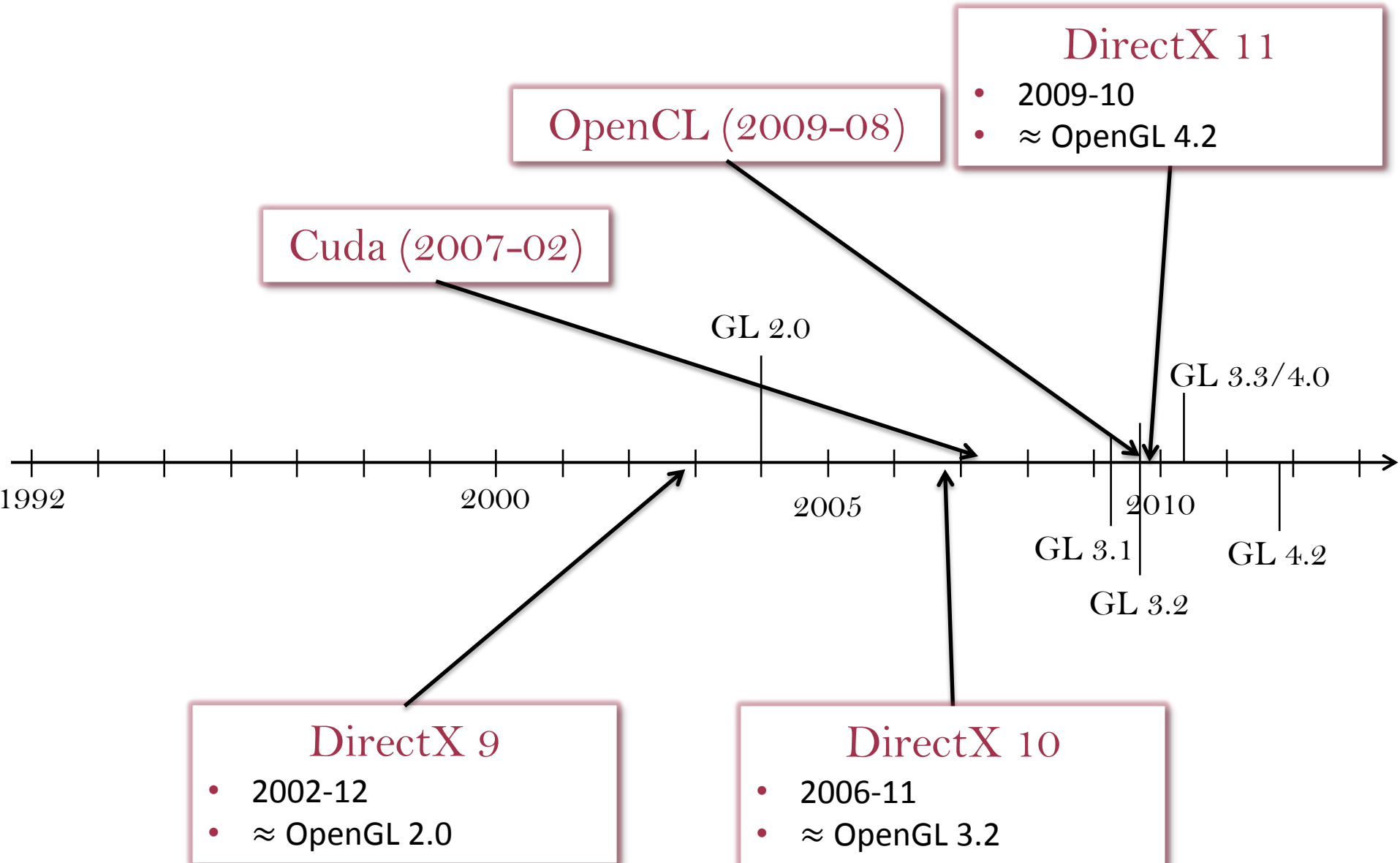


## ATI Radeon 5870 (2009-11)

- OpenGL 4.2
- OpenCL 1.1

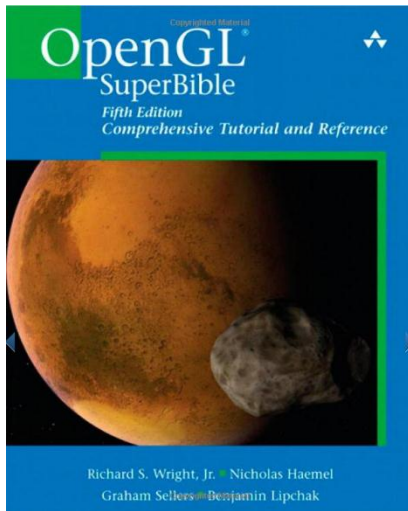


# Vergleich mit proprietären APIs



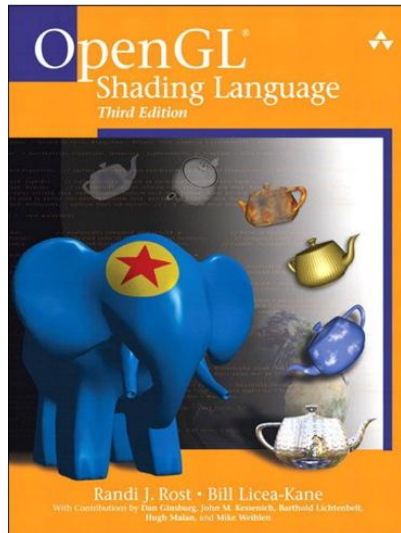
# Literatur OpenGL Programmierung

---



Wright, Haemel, Sellers,  
Lipchak  
**OpenGL SuperBible**  
Addison-Wesley 2010  
(verfügbar unter Safari)

[Safari Link](#)



Rost, ...  
**OpenGL Shading  
Language**  
Addison-Wesley  
2009  
(verfügbar unter  
Safari)

# Links OpenGL Programmierung

---

- Tutorials, z.B. auf lwjgl.org, meist veraltet
- OpenGL 4.2 Specification
  - <http://www.opengl.org/registry/doc/glspec42.core.20110808.pdf>
- OpenGL Shading Language (GLSL) 4.20 Specification
  - <http://www.opengl.org/registry/doc/GLSLangSpec.4.20.6.clean.pdf>
- OpenGL 3.3 Reference Pages
  - <http://www.opengl.org/sdk/docs/man3/>
- GLSL 4.2 Reference Pages
  - <http://www.opengl.org/sdk/docs/manglsl/>
- OpenGL 4.2 Reference Pages
  - <http://www.opengl.org/sdk/docs/man4/>
- Quick Reference Card (blaue Befehle ignorieren!)
  - <http://www.khronos.org/files/opengl42-quick-reference-card.pdf>